

I-59 鉄筋のすべりを考慮したひびわれ床版の数値解析

東洋技術コンサルタント 正員 ○ 島田 功
 大阪工業大学 正員 岡村 広一
 大阪市立大学 正員 園田 恵一郎

1. まえがき：道路橋RC床版のひびわれ損傷は、次のような現象をともなって進むようである。①輪荷重の移動により床版スパン全面に曲げひびわれが発生し、さらにひびわれ間隔が密になる。②輪荷重の繰返し載荷によって徐々に鉄筋の付着が弱まる床版の剛性が低下する。③ひびわれ断面では、曲げによるひびわれ開閉やねじりによるせん断すべりが繰返され、せん断力およびねじりモーメントに対する抵抗力が低下する。④これらの抵抗力の低下によってひびわれ断面に3次元的応力集中があらざり、荷重変近傍ではせん断力は起因するひびわれが床版上面より併走される。⑤ひびわれ断面における応力集中による上下からのひびわれは貫通することとなる。すなわち、床版の最終段階である引張側コンクリートの剥離や床版の部分的破壊に致る過程は、輪荷重の移動、すべりによって、鉄筋のボンドスリップやひびわれ面のスリット化が促進され、進行するものと考えられる。

図-1.2は、実橋床版の既存ひびわれ図と、荷重の移動によって観測されたひびわれの展開運動を示したもので、荷重直下でのひびわれは大きくひらくか荷重から少し離れると主鉄筋方向のひびわれは逆に向じる。ここで示した結果は鉄筋に丸鋼を用いた鉄筋の付着はほとんど期待できない状態であり、さうしてひびわれも貫通しており、劣化した床版の場合である。しかし、このような反転現象はひびわれ面に圧縮によるたたきを与えて、ひびわれ幅の拡大やスリット化の促進、さらには角落ちの原因となり、床版の劣化を早めることなる。ところで、このような荷重から若干離れた位置での反転現象は板の曲げ理論では説明できないものであり、鉄筋の付着やせん断剛性が失なからずひびわれ床版特有の3次元的挙動によるものと思われる。このように見ても、鉄筋のすべりを考慮したひびわれ床版の3次元モデルでの数値実験をおこない上述の特性を検討したのでここに報告する。

2. 解析結果：図-3は、主鉄筋方向にひびわれを中立面近傍まで仮定した3次元モデルである。さうに図-4には、配筋鉄筋の付着をもめた解析モデル4ケースを示した。ただし、解析においてねじりの影響を無視した。図-5は、ひびわれ断面における正縮域のひずみ分布を示したもので、荷重位置から40cm離れたひびわれ断面②では、鉄筋の付着を切ると、ひずみ分布に反転現象が見られる。なお、この結果は、ひびわれ面のせん断抵抗が失われたとした場合である。図-6には、このケースについて床版下

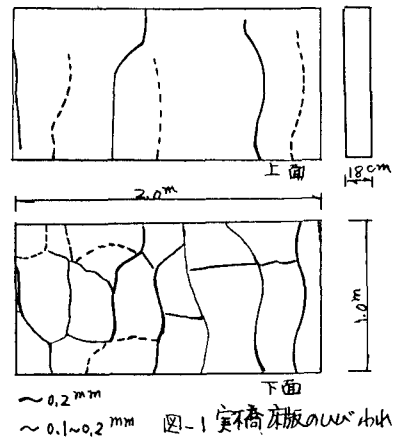


図-1 実橋床版のひびわれ図

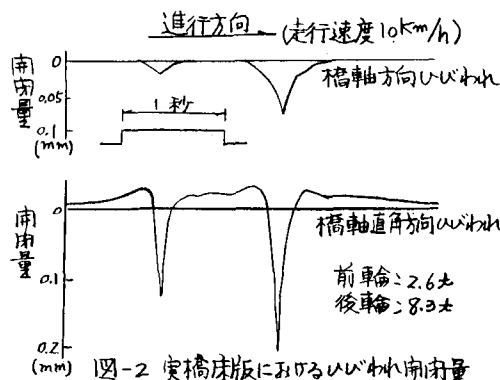


図-2 実橋床版におけるひびわれ開閉量

1) 国村 園田：ひびわれ床版の力学的性質、鉄筋コンクリート床版疲労設計委員会報告書7章、土木学会関西支部、昭和52年

面のひびわれ開閉を示した。ただし、開閉量の分布をひびり部今まで延長して推定した値である。図-3は、荷重の移動・繰返しによって再現したひびわれ床版で測定したひびわれ開閉量の試験結果である。¹⁾や、荷重位置から40

cm以上はなべたひびわれ断面には、解析結果と類似の反転現象が見られる。

次に、図-8は、荷重から40 cmまでボンドスリップ域を設定した図-4の数値実験モデルで、配筋鉄筋量を変化させた場合、ならびに骨材のかみあわせ等によりひびわれ断面のせん断抵抗がある考慮えた場合にについて、圧縮域のひずみ分布をさきほどの結果と対比したもので、鉄筋のすべりを考慮すると同様な反転現象がみられ、ひびわれ断面のせん断抵抗を考慮すると反転現象がさらに助長される傾向がある。

3. あとでさき、鉄筋のすべりを考慮したひびわれ床版を3次元モデルで解析し、実験結果に見られる、荷重直下でひびわれが大きく開き、少し離れてひびわれ断面では同じ現象を把握することができた。本解析結果によると、荷重位置から40 cm位離れたひびわれ断面まで付着や切れるとひずみの反転現象があらわれる。また、この現象は、鉄筋量にはあまり関係なく、ひびわれ断面にせん断抵抗がある場合には反転現象が助長されるようである。なお、この現象を示すひびわれ断面の上面は引張ひずみとなるが、その値は小さく応力はボアソン効影響で圧縮となる。したがって、この現象による床版上面のひびわれ発生はないものと思われる。しかし、さきにも述べたように、荷重の移動・繰返しによって鉄筋の付着がきれると、ひびわれ断面には開閉によるたたきを与える、床版の劣化を促進することとなろう。

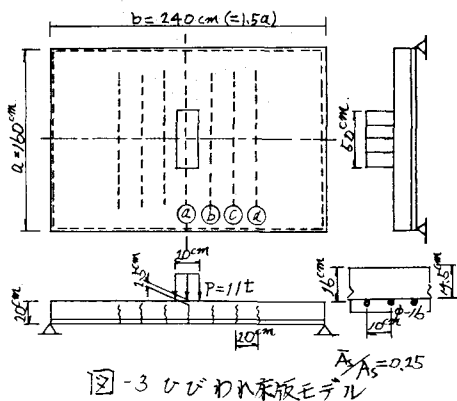


図-3 ひびわれ床版モデル

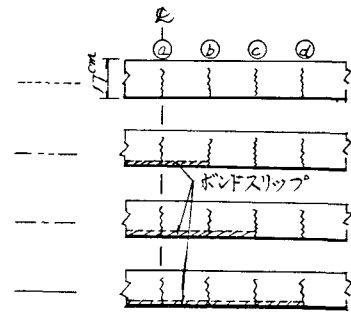


図-4 ボンドスリップ域の変化

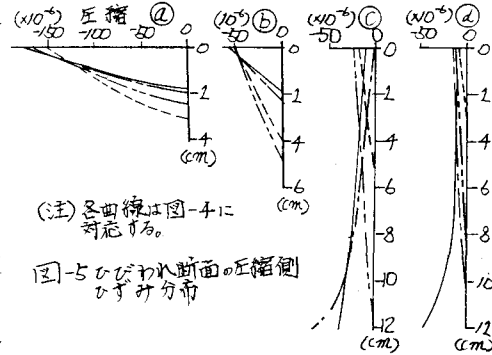


図-5 ひびわれ断面の圧縮側ひずみ分布

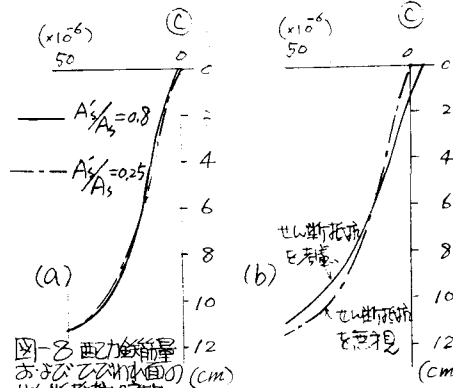


図-6 断面のひびわれ開閉量

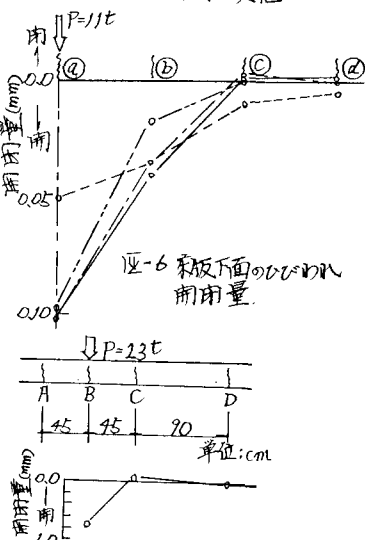


図-7 床版のひびわれ開閉量

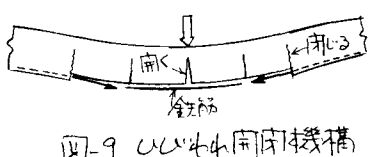


図-8 ひびわれ開閉量



図-9 ひびわれ開閉機構